

# национальный исследовательский центр «КУРЧАТОВСКИЙ ИНСТИТУТ»

Институт физики высоких энергий имени А.А. Логунова Национального исследовательского центра «Курчатовский институт»

Препринт 2018-2

В.Н. Алферов, Д.А. Васильев, В.Ф. Головкин, П.П. Коробчук, А.В. Лутчев, В.Х. Маляев, В.Н. Рядовиков, В.А. Соловьев, В.Н. Федорченко, А.Н. Холкин

# Измерение магнитного поля установки СВД-2

Направлено в ПТЭ

УДК 539.1.074.3

#### Аннотация

Алферов В.Н. и др. Измерение магнитного поля установки СВД-2: Препринт НИЦ «Курчатовский институт» – ИФВЭ 2018-2. – Протвино, 2018. – 21 с., 20 рис., библиогр.: 7.

Приведено описание разработанной в ИФВЭ системы измерения магнитного поля большого объема, которая была использована для измерения магнитного поля экспериментальной установки СВД ускорительного комплекса У-70. Приведены параметры системы и результаты измерений.

#### **Abstract**

Alferov V. et al. The magnetic field measuring of SVD-2 setup: NRC «Kurchatov Institute» – IHEP Preprint 2018-2. – Protvino, 2018. – p. 21, figs. 20, refs.: 7.

The magnetic field measuring system was constructed at IHEP for a large volume and used to measure the magnetic field of SVD setup at the accelerator complex U-70. The system parameters and measurement results are presented.

# Введение

Основными целями экспериментов, выполняемых в настоящее время на установке Спектрометр с вершинным детектором (СВД) [1] на ускорительном комплексе ГНЦ ИФВЭ, являются исследования рождения очарованных частиц [2] и изучение многочастичных процессов [3]. С результатами экспериментальных исследований, полученными на установке к настоящему времени, можно ознакомиться на сайте ИФВЭ [4].

Установка СВД расположена на 22 канале ускорителя У-70 и может экспонироваться в пучках заряженных частиц и ионов <sup>12</sup>С в широком диапазоне их импульсов. В качестве спектрометрического магнита установки используется широкоапертурный магнит М-7. На рис. 1 приведена схема установки. Ось Z системы координат установки направлена по движению частиц первичного пучка и параллельно плоскости нижней полюсной обмотки. Ось Y направлена вертикально снизу вверх по нормали к этой плоскости. Ось X направлена так, чтобы получилась правая система координат. Центр ярма спектрометрического магнита М-7 принимается за начало декартовой системы координат (правой тройки XYZ) спектрометра.

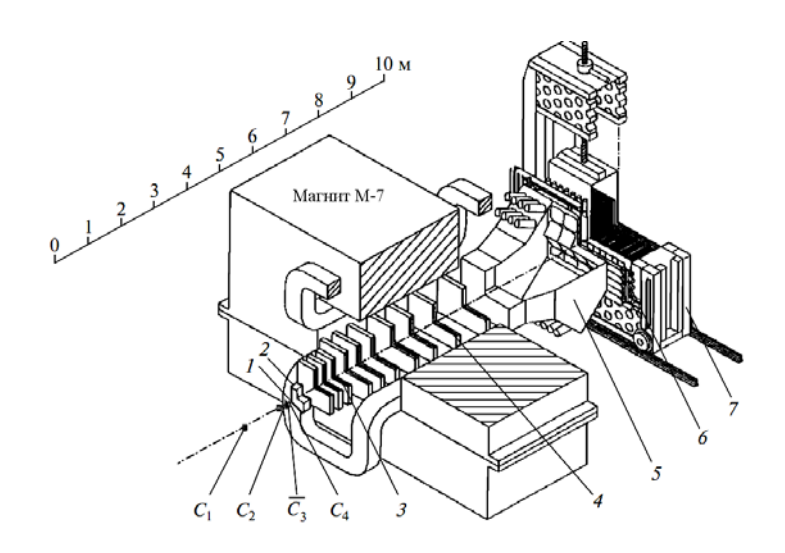


Рис. 1. Схема установки СВД: 1- мишень (М); 2- вершинный детектор (ВД); 3 — дрейфовые трубки (ДТ); 4 — пропорциональные камеры (ПК); 5- черенковский счетчик (ЧС); 6- сцинтилляционный годоскоп (СГ); 7- детектор гамма-квантов (ДЕГА);  $C_1-C_4-$  счетчики триггерной системы.

В процедуре восстановления импульса частиц используются координатные детекторы, расположенные сразу за мишенью в магнитном поле. Карта магнитного поля необходима также для прослеживания траектории заряженной частицы в черенковский счетчик, сцинтилляционный годоскоп и детектор гамма-квантов.

Выполненные в 1990 году измерения магнитного поля установки [5] не отвечают современным потребностям текущих экспериментов. В составе установки появились металлические конструкции (экран для экранировки фотоумножителей ЧС и т.п.), которых не было при прежних измерениях. Поэтому были выполнены новые измерения магнитного поля установки СВД.

Измерения индукции магнитного поля были выполнены системой датчиков Холла в автоматизированном режиме под управлением компьютера. Рабочая область измерений составила (140. × 88. × 460.) см<sup>3</sup>. В работе дается описание аппаратуры, приведены результаты измерений и их анализ, описаны процедуры получения карты магнитного поля установки СВД, которая в дальнейшем будет использоваться для проведения экспериментальных исследований.

# Система для измерения магнитного поля

Измерение магнитного поля выполнялось сборками полупроводниковых арсенидогаллиевых датчиков Холла (ДХ) (рис. 2) производства ООО «Вега — Флекс» (Санкт-Петербург) [6], обеспечивающими измерение индукции поля по трем координатам. Каждая сборка (магнитометр) содержит три датчика Холла типа ПХЭ602817В.

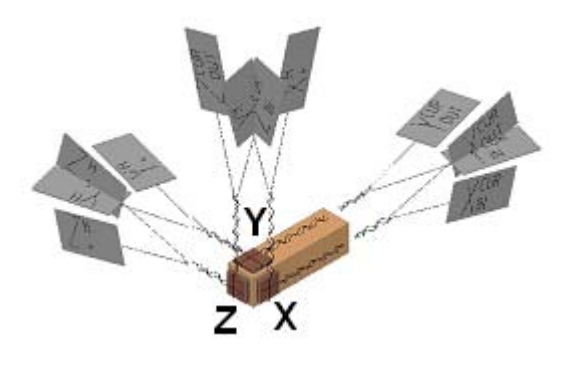


Рис. 2. Схема сборки датчиков Холла, смонтированных на керамическом основании.

Основные характеристики датчика Холла:

- магнитная чувствительность при  $B=0.1~\mathrm{Tr}=60\div75~\mathrm{мкB}/\mathrm{мTr};$
- ток питания = 100 мA;
- входное сопротивление = 4.5 Ом;
- температурный коэффициент чувствительности = -0.004% /  $^{0}$ C.

Схематическое изображение механической конструкции для измерения магнитного поля установки СВД приведено на рис. 3. Обозначение осей соответсвует принятому в экспериментах на СВД правилу (Z-направление пучка, X- горизонталь, Y-вертикаль в правой системе координат). Измерения выполнялись 23 магнитометрами, закрепленными на вертикальной штанге (ось Y) с шагом 4 см. Штанга установлена на подвижной каретке, которая перемещалась по рельсам вдоль оси Z с шагом 4 см с использованием управляемого от ПК электродвигателя и ленточного привода. В поперечной плоскости (по оси X) штанга с магнитометрами перемещалась с шагом 4 см ручным приводом. Ориентация магнитометров на штанге соответствует измерениям компонентов индукции поля  $(B_x, B_y, B_z)$ . Положение каретки, штанги и, соответственно, магнитометров по отношению к реперным меткам на ярме магнита измерялось с

точностью  $1\div 2$ мм, что с учетом линейных размеров сенсора ( $2\times 2$  мм $^2$ ) можно считать достаточным.

Перед измерениями индукции поля СВД датчики калибровались с помощью ЯМР в 6-метровом магните УНК при трех значениях поля: 3106, 4657, 6500 Гс и стабильностью тока  $10^{-4}$ . Калибровка показала соответствие измеренных значений чувствительности паспортным данным. Показания при нулевом поле определялись как полуразность показаний при двух противоположных ориентациях в заведомо слабом внешнем поле.

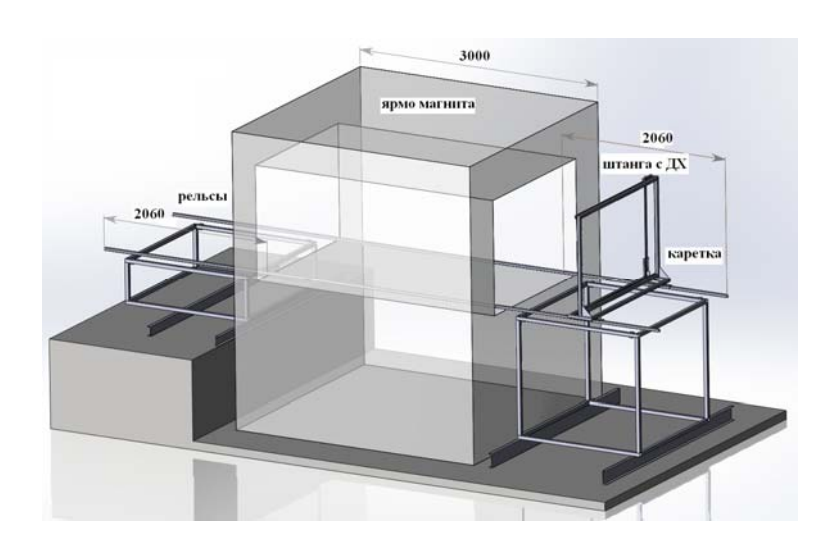


Рис. 3. Схематическое изображение механической конструкции для измерения магнитного поля.

Чтобы обеспечить требуемую погрешность измерения индукции поля на уровне  $10^{-3}$ , необходимо было снизить величину влияющих факторов: тока питания датчика, температуры, тока магнита, точности АЦП – до уровня  $10^{-4}$ .

Блок-схема системы измерения приведена на рис. 4. Система может управляться от удаленного компьютера, размещенного в другом здании либо от ПК из домика экспериментаторов в зоне установки СВД.

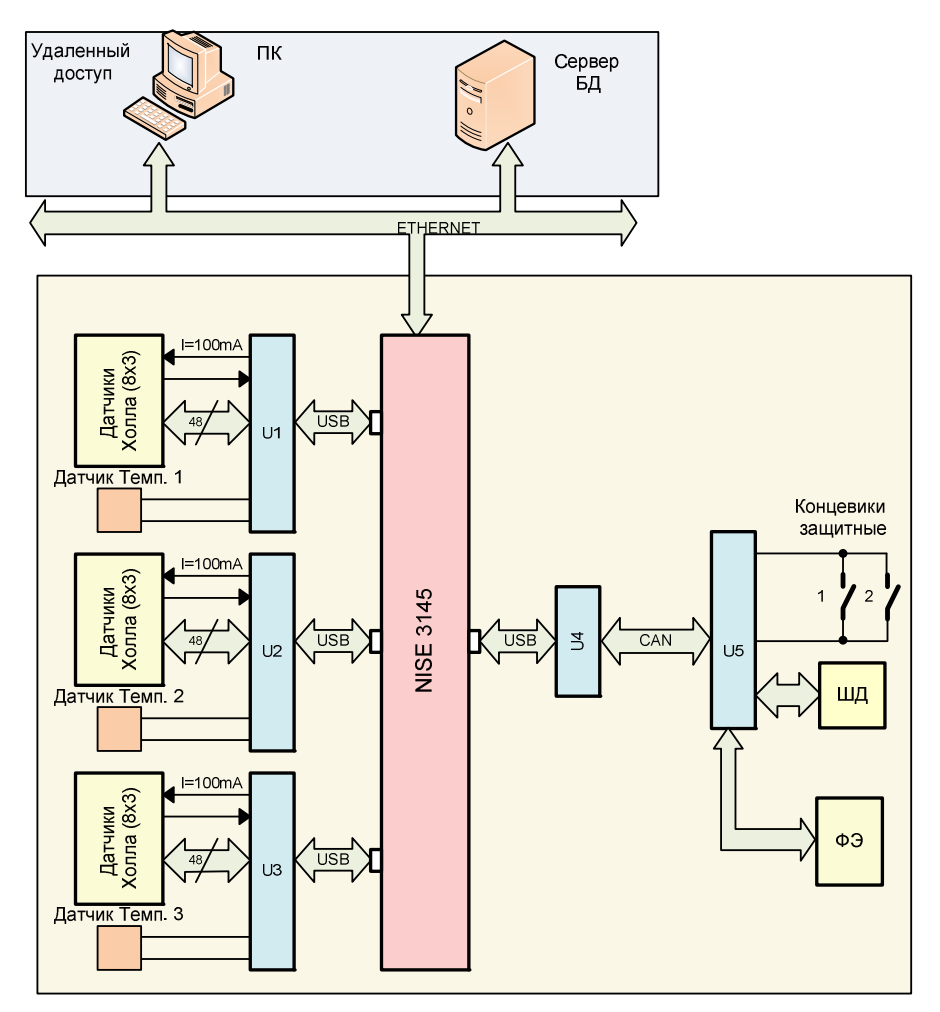


Рис. 4. Блок-схема системы для измерения магнитного поля установки СВД.

В состав системы измерения и управления входят следующие блоки:

- Три 24-канальных блока измерения сигналов датчиков Холла (U1, U2, U3).
- U4 преобразователь интерфейсов (USB-CAN) AC4 [7].
- Блок управления шаговым двигателем FL60STH86 с шагом по окружности 1 мм для перемещения каретки вдоль оси Z, обработки сигналов с фотоэлемента (ФЭ) и концевых выключателей (U5).

Блок измерения сигналов ДХ включает в себя:

- 24 входных канала с одновременной выборкой сигнала. Максимальная частота измерений 6 кГц.
- Диапазон измеряемых напряжений ±120 мВ. Коэффициент усиления канала 20.
- Встроенный стабильный источник тока 100 мА.

- АЦП для контроля тока.
- Два канала измерения температуры полупроводниковыми интегральными микросхемами-термодатчиками типа AD592 с точностью  $\pm 0.5$  °C.

Калибровка блоков производилась прибором B1-12 (паспортная погрешность установки напряжения не более 0.005%).

Измеренные шумы блоков, приведенные к входу, при частоте опроса  $F=100~\Gamma$ ц составляют  $\pm 6~$  мкB, это означает, что среднеквадратичное значение шумов не превышает уровень  $10^{-4}~$ от максимального входного сигнала  $\pm 120~$ мB.

Измеренные шумы источника тока  $\pm 8$  мкA, что составляет около  $10^{-4}$  от величины тока.

Концевые выключатели ограничивают перемещение каретки. Фотодатчик (ФЭ), закрепленный на каретке, перемещается вдоль линейки с прорезями шириной 1 мм, нарезанными с шагом 4 см и задающие координату по оси Z. Полупроводниковые датчики температуры AD592 контролируют изменение температуры измерительных блоков и магнитометров в ходе измерений. Калибровочная точность датчиков температуры 0.5 °C, линейность в диапазоне температур от 0 °C до 70 °C равна 0.15 °C. Термочувствительность блоков измерения сигналов ДХ в целом при нулевом токе проверялась в термокамере SU-241 фирмы ESPEC. Значения тока магнита считывались в контроллере источника питания магнита и передавались на установку СВД по сети с задержкой в единицы секунд.

# Процедура измерений

Рабочая область измерений была разделена на две половины по продольной оси Z: переднюю от BД до центра магнита и заднюю от ДЕГА до центра магнита, каждая из них составила (140.  $\times$  88.  $\times$  460.) см<sup>3</sup>. Измерения индукции (B) задней части магнитного поля установки CBД, выполненные в 2016 году при различных значениях (I=1, 2, 3 и 4 кA) тока в катушках магнита, служили для:

- начальной оценки измерений индукции;
- проверки паспортных данных каждого ДХ;

- получения зависимости индукции поля от тока в магните и проверки ее линейности;
- сравнения измерений с картой поля 1990 года [5];
- получения рекомендаций по усовершенствованию оборудования для окончательных измерений всего объема поля, которые были завершены в 2017 году.

Управление кареткой считывание подвижной И показаний датчиков осуществлялось с помощью программной платформы LabVIEW. Результаты измерений записывались в текстовые файлы, которые содержали служебную информацию: шаг измерительной каретки вдоль пучка и по горизонтали, ток магнита, показания датчиков температуры и усредненные данные по 100 измерениям индукции в одной точке для трех компонент поля в мТл с их дисперсией. Анализ первых измерений поля показал, что разброс показаний датчиков Холла в одной точке небольшой (< 0.1%). Величины измеренных индукций поля неплохо согласуются в центре магнита со старой картой поля. Однако были выявлены проблемы в системе передвижения каретки из-за наличия деталей из нержавеющей стали в конструкции и электродвигателя для перемещения штанги с ДХ в поперечном направлении (ось X). Поэтому этот электродвигатель был удален из конструкции, и перемещение штанги с ДХ в поперечном направлении осуществлялось вручную. Для надежного позиционирования магнитометров в точках измерения по оси Z была смонтирована продольная линейка с прорезями через 4 см и система регистрации сигнала с фотодатчика при прохождении щели, доработана программа для остановки каретки по сигналу фотодатчика. Сравнения измеренных индукций поля в одной точке при движении каретки в обе стороны (X=const) показали, что значения B(вперед) и B(назад) совпадают с точностью лучше 1%. Поэтому в дальнейшем для анализа использовались только измерения, полученные при одном (вперед) прохождении строки. Измерения по оси Z выполнялись от малых к большим значениям поля. Найдено, что зависимость показаний ДХ от их температуры в диапазоне температур, при которых проводились измерения, < 0.01% и в дальнейшем эта зависимость не анализировалась.

Коэффициенты пропорциональности (k) для значений  $B_y$ , измеренные при разных величинах тока в магните (I= 1, 2, 3, 4 kA), отличаются от линейной зависимости в пределах ( $-1.5\% \div -0.5\%$ ). В таблице 1 они приведены в качестве примера для одной пространственной точки в центре магнита.

<u>Таблица 1</u>. Коэффициент пропорциональности  $k = B_y(4 \text{ kA}) / B_y(I)$ .

I, kA	$B_{\rm y}$ , mT	$k=B_y(4 \text{ kA}) / B_y(I)$
1.0	267.37	3.938 (-1.5%)
2.0	531.51	1.981 (-1.0%)
3.0	793.95	1.326 (-0.5%)
4.0	1052.75	1.0

# Анализ измеренных данных

В 2017 году, после модернизации механической системы передвижения ДХ и улучшения электронной системы управления, были проведены измерения передней (от ВД до центра магнита = front) и задней (от ДЕГА до центра магнита = back) частей магнитного поля при токе в катушках 4 кА и 1 кА. Поле измерялось в 191935 пространственных точках. Анализ полученных массивов данных для каждой компоненты поля ( $B_x$ ,  $B_y$ ,  $B_z$ ) проводился раздельно, после чего они были объединены в карту магнитного поля.

#### Коррекция значений индукции поля

Измеренные данные магнитной индукции (В) корректировались:

- на величину тока в магните при каждом измерении B (например, фактор  $K_I = 4.0$  /  $I(\kappa A)$ ), так как  $I(\kappa A)$  мог меняться на величину  $\sim 1\%$  при каждом новом включении тока магнита;
- у четвертого магнитометра (нумерация сверху вниз по штанге) не работал датчик для компоненты  $B_{\rm z}$ , поэтому значение  $B_{\rm z}$  для него вычислялось как среднее двух соседних датчиков/

#### Сглаживание измерений магнитного поля

Предварительные измерения магнитного поля показали, что использование

большого числа ДХ (23 шт. для каждой компоненты поля) при наличии индивидуальных физических характеристик у каждого из них (например, зависимости чувствительности от величины B) и ошибок их индивидуальных калибровочных измерений, предполагает на завершающей стадии проведения процедуры сглаживания данных и анализа результатов этой процедуры. Для иллюстрации этого эффекта на рис. 5 (слева) приведены зависимости основной компоненты  $B_y$ (back) от номера датчика ДХ в центре магнита для восьми горизонтальных координат X (четыре в одну сторону и четыре в другую от центра). Относительные «биения» от гладкой кривой значений  $B_y$ (back) двух соседних датчиков ДХ небольшие меньше 2%, но ожидается, что кривые должны быть гладкими. Кроме того, при небольших значениях B (на краях поля для  $B_y$  и для компонент  $B_x$ ,  $B_z$ ) относительные колебания могут иметь значительную величину.

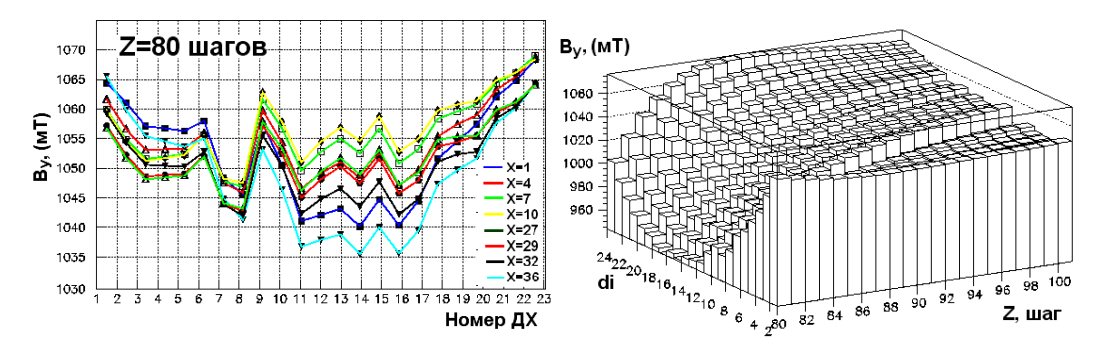


Рис. 5. Зависимости основной компоненты  $B_y$ (back) от номера датчика ДХ в центре магнита для восьми значений X (слева); плот  $B_y$ (Z, ДX) (справа). На оси Z указан номер шага измерений.

Для сглаживания зависимостей индукции  $B_{y}$  от вертикальной координаты кривые фитировались полиномом 3-й степени. Результаты приведены на рис. 6.

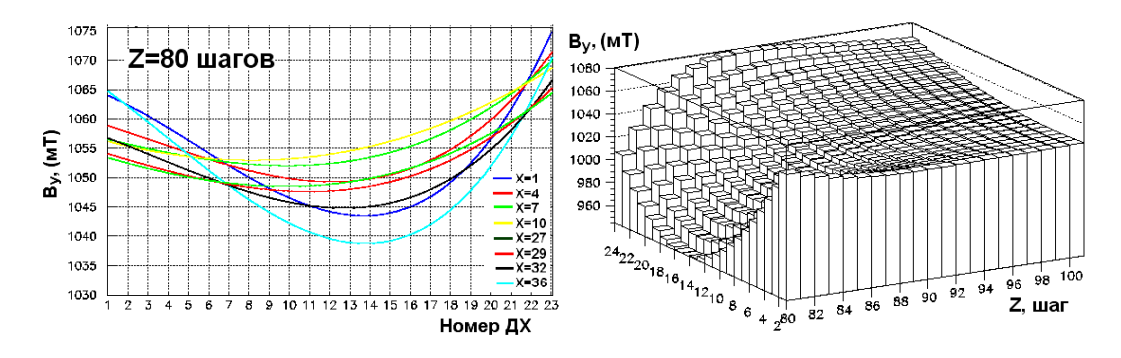


Рис. 6. Зависимости основной компоненты  $B_y$ (back) от номера датчика ДХ в центре магнита для восьми значений X (слева); плот  $B_y$ (Z, ДX) (справа) после фитирования. На оси Z указан номер шага измерений.

Необходимость сглаживания зависимостей компоненты  $B_z(Y)$  иллюстрирует рис. 7, который получен для измерений передней части поля. При малых значениях  $B_z$  их относительные колебания достигают иногда ~20%.

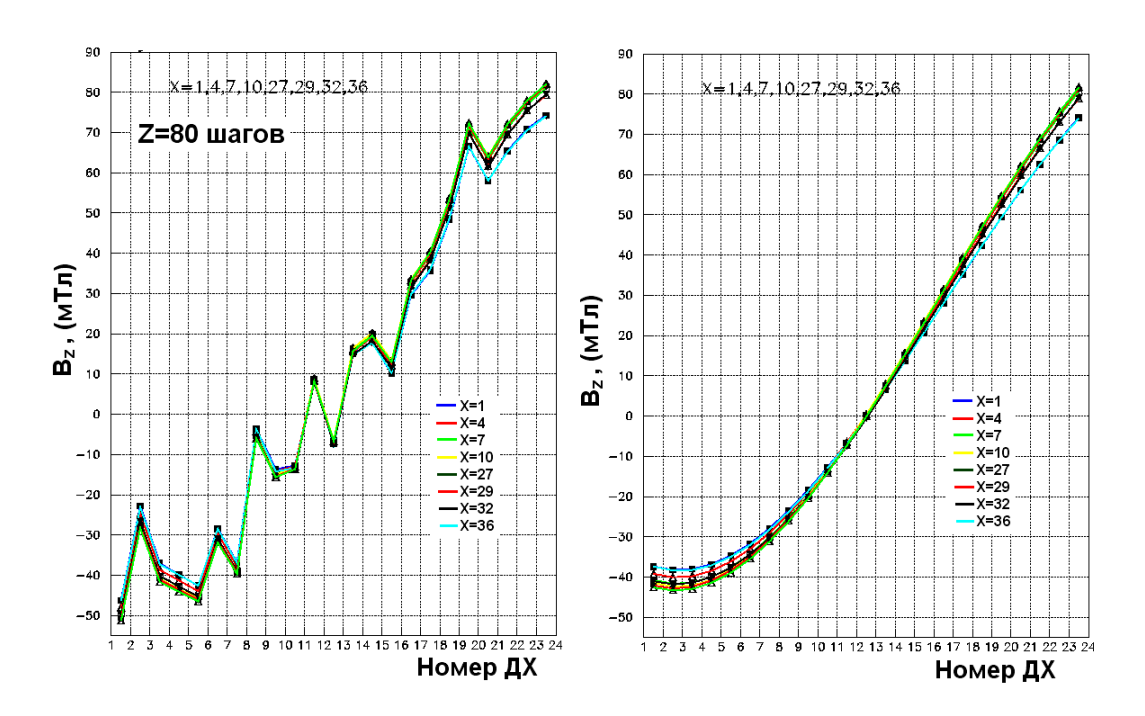


Рис. 7. Зависимости компоненты  $B_z$ (front) от номера датчика ДХ в центре магнита для семи значений X до (слева) и после (справа) фитирования.

Для проверки, не искажает ли вышеописанная процедура сглаживания измеренных значений индукции B и ее зависимостей от координат, вычислялась величина  $\Delta B/B=(B_{\rm meas}-B_{\rm fit})/\left|B_{\rm fit}\right|$  для каждой измеренной точки, которая отражает также ошибки измерений индукции. Распределение величины  $\Delta B_y/B_y$ , включающее 88596 измеренных точек в передней части магнита, имеет среднее значение  $<\!\Delta B_y/B_y>=0.01$  и  $\sigma=0.03$ , для 86018 точек в задней части магнита имеем  $<\!\Delta B_y/B_y>=0.08$  и  $\sigma=0.18$ . Зависимость этой величины от значения  $B_{\rm fit}$  для основной компоненты поля  $B_y$  приведена на рис. 8. Видно, что в центре магнита ( $B_y>500$  мТл) величина  $\Delta B_y/B_y$  не превышает 0.5% для передней и 1% для задней части магнита.

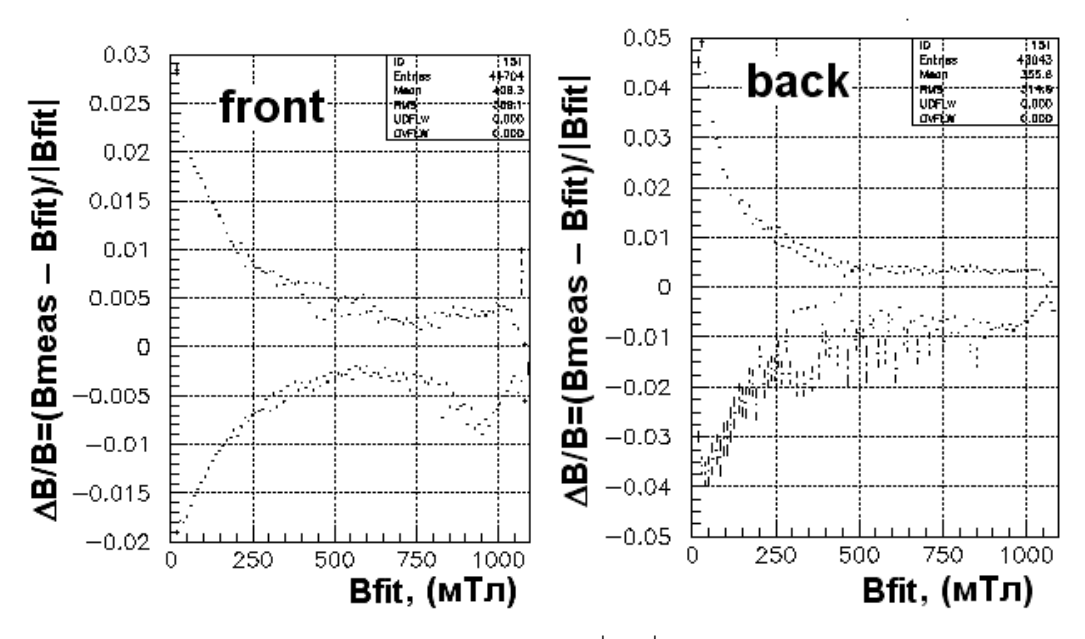


Рис. 8. Относительная разница  $\Delta B/B = (B_{\text{meas}} - B_{\text{fit}})/|B_{\text{fit}}|$  для измерений в передней (слева) и задней частях магнита (справа).

Аналогичные распределения для компоненты  $B_z$  показывают, что  $<\!\Delta B_z/B_z>=0.01$ ,  $\sigma=0.26$  для передней и  $<\!\Delta B_z/B_z>=0.07$ ,  $\sigma=0.26$  для задней части магнита. Для компоненты  $B_x$  имеем  $<\!\Delta B_x/B_x>=-0.04$ ,  $\sigma=0.36$  для передней и  $<\!\Delta B_x/B_x>=-0.07$ ,  $\sigma=0.34$  для задней части магнита. Для значений  $B_z>100$  мТл средняя ошибка  $<\!\Delta B_z/B_z>=-5\%$ . Для самой слабой компоненты  $B_x$  ошибки  $\Delta B_x/B_x$  могут достигать  $\sim\!20\%$ .

#### Переход в систему координат центра магнита

Карта магнитного поля, используемая для геометрической реконструкции событий в установке СВД, представляет собой массивы значений трех компонент индукции  $B_x$ ,  $B_y$  и  $B_z$  в системе координат, привязанной к геометрическому центру магнита. Измерения магнитного поля получены в системе координат измерительной установки ( $X_0$ ,  $Y_0$ ,  $Z_0$ ). Задача — перейти в систему координат магнита ( $X_0$ ,  $Y_0$ ,  $Z_0$  — центр внутреннего объема ярма, представляющего собой параллелепипед). Для этого использовались геометрические измерения ярма магнита и размеры механической конструкции измерительной установки и ее положения относительно ярма.

Карты силовых линии поля на проекциях (в продольной и поперечной плоскостях) имеют характерные особенности (симметрии). Эти симметрии позволяют восстановить оси магнитного поля в пространстве. Положение осей поля зависит от положения осей ярма магнита и от геометрии его катушек. Для определения центра поля по оси Z строились распределения  $B_y(Z)$  вблизи центра магнита (100 < Z < 114 шагов или интервалов измерений, X=18 шагов и Y для ДХ13) для измерений передней и задней частей (см. рис. 9). Индукция максимальна в центре поля (Z'=0). Из анализа рис. 9 следует, что центр поля находится в точке Z=105 шагов для измерений передней половины и Z=110 шагов для измерений задней половины поля магнита.

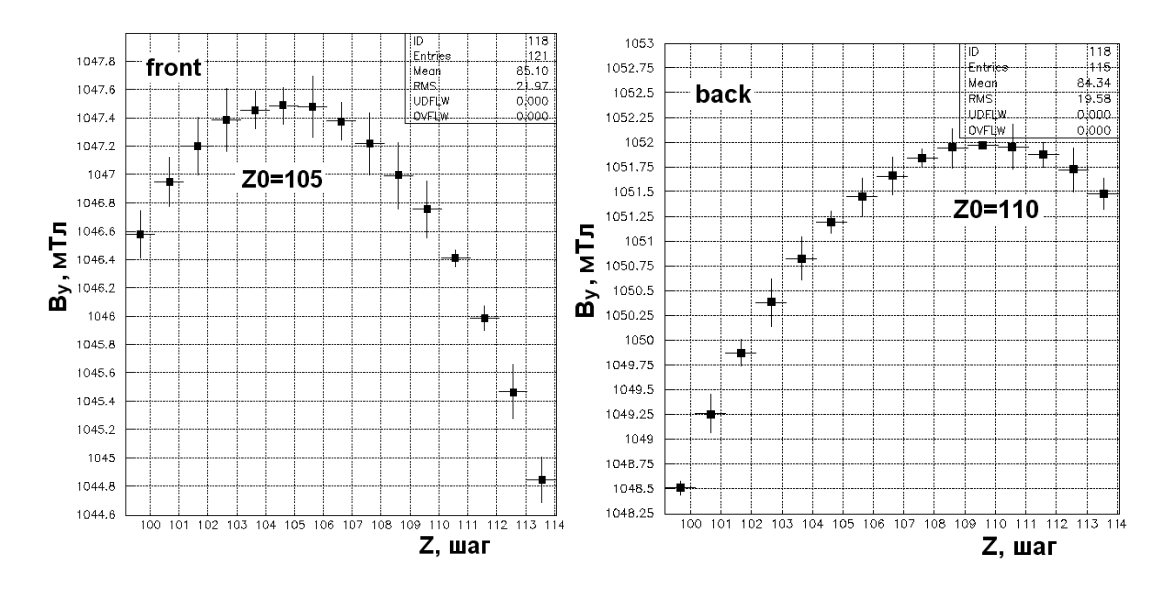


Рис. 9. Зависимость индукции  $B_y(Z)$  для измерений в передней (слева) и задней частях магнита (справа). На оси Z указан номер шага измерений.

После перехода в систему Z'=Z-105 шагов для измерений в передней части можно показать, что центр  $Z'_0$  остается центром для всех шагов по X (см. рис. 10 слева). На рис. 10 справа показано, что положение центра также не зависит от величины тока магнита и от процедур сглаживания поля при токе I=4 кА. Чтобы сравнить значения  $B_y$  при токах 1 и 4 кА, представлена величина  $4.0 \times B_y(1$  кА). Аналогичные рисунки для измерений в задней части магнита показывают, что координата  $Z_0=110$  шагов соответствует центру поля (Z'=0).

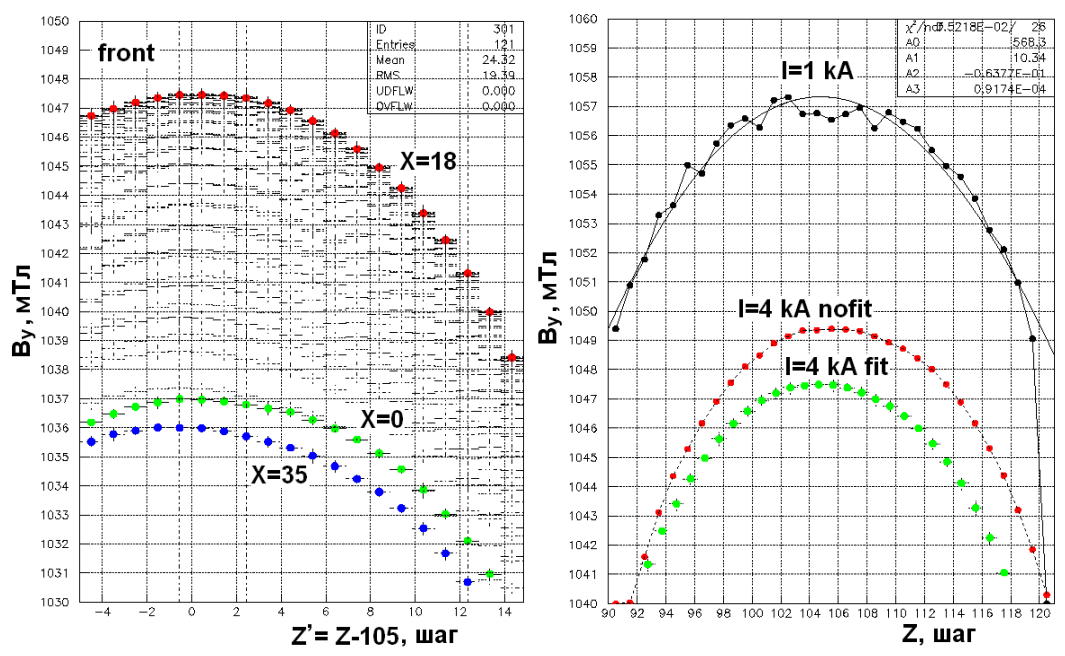


Рис. 10. Зависимость индукции  $B_y(Z'=Z-105)$  для разных X (слева) и зависимость индукции  $B_y(Z, X=18, Y=d13)$  для I=1 кА и I=4 кА до и после сглаживания (справа).

Далее нужно определить координаты  $X_0$  и  $Y_0$ . Для этого строились проекции индукции  $B_y(X)$  и  $B_y(Y)$  для различных значений координаты Z. Пример зависимости  $B_y(X)$  для  $Z_0$ =80 шагов и всех датчиков ДХ (d1÷ d23) показан на рис. 11 (слева). Для цетрального ДХ (d13)  $B_y(X)$  имеет максимум при  $X_0$ =18 шагов.

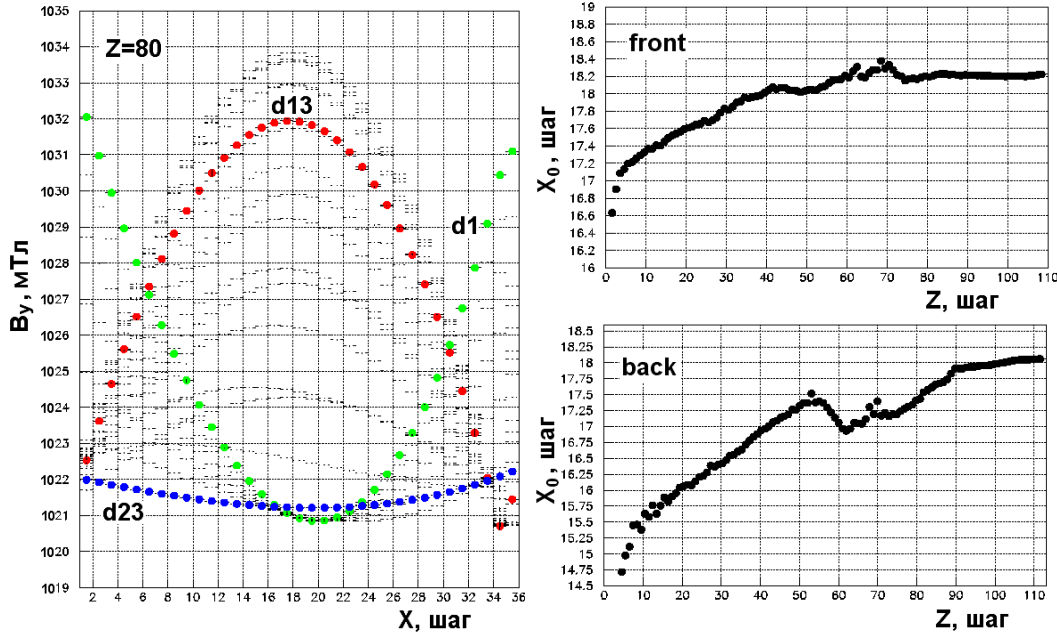


Рис. 11. Зависимость индукции  $B_y(X)$  для Z=80 шагов (слева) и зависимость  $X_0(Z)$  для передней и задней частей (справа). На оси Z указан номер шага измерений.

Оказалось, что значение  $X_0$ =18 шагов постоянно только в ярме магнита ( $Z_0$ >70) и изменяется с уменьшением координаты Z вне магнита (см. рис. 11 справа). Такое поведение  $X_0$  связано с тем, что направляющие рельсы, проложенные вне магнита для перемещения измерительной каретки с магнитометрами, были повернуты на небольшой угол в горизонтальной плоскости по отношению к рельсам в ярме и, соответственно, оси магнитного поля. Поэтому при переходе в систему координат магнита этот факт учитывался. Для каждого шага по Z значение координаты  $X_0$  было свое.

Анализ проекций  $B_y(Y)$  для различных значений координаты Z показал, что за вертикальную координату  $Y_0$  центра поля нужно принять положение датчика d13 при всех значениях Z, с учетом того, что нумерация датчиков имела направление сверху вниз, то есть самым верхним был d1, а нижним датчик d23.

После нахождения координат центра магнита  $(X_0, Y_0, Z_0)$  можно объединить данные для измерений передней и задней частей поля магнита и представить их в системе координат (X', Y', Z'). Полученные результаты по компонентам поля для тока магнита 4 кА приведены на рисунках  $12 \div 17$ .

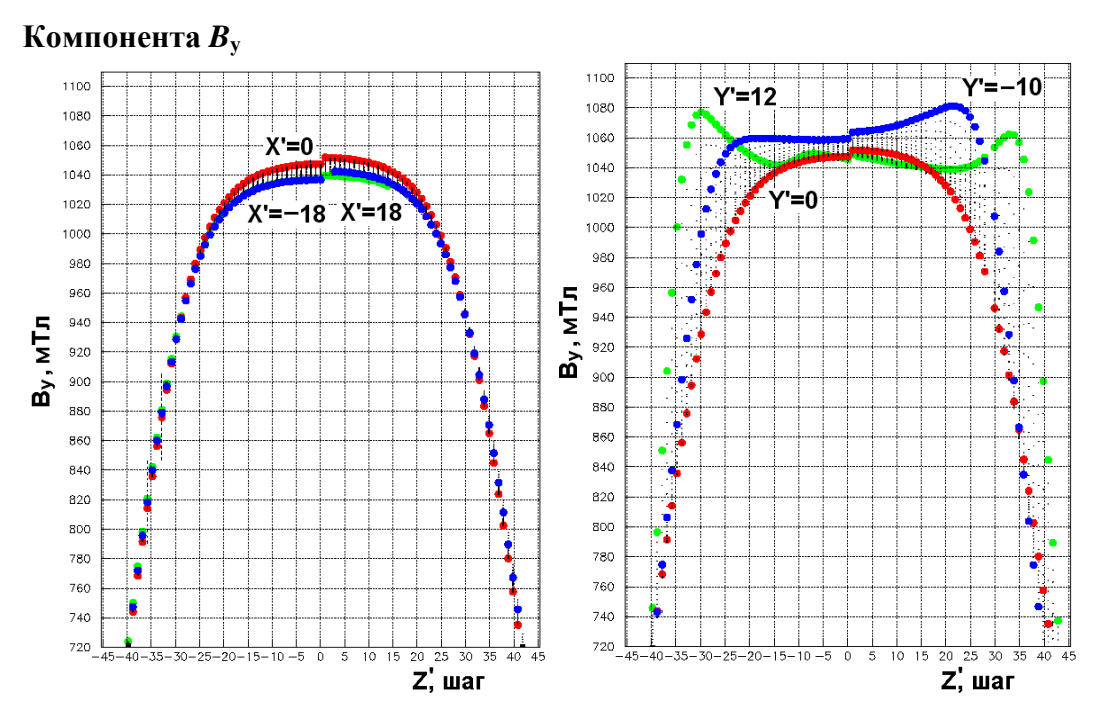


Рис. 12. Зависимость индукции  $B_y(Z')$  для Y'=0 и разных шагов по X' (слева) и зависимость  $B_y(Z)$  для X'=0 и разных шагов по Y' (справа).

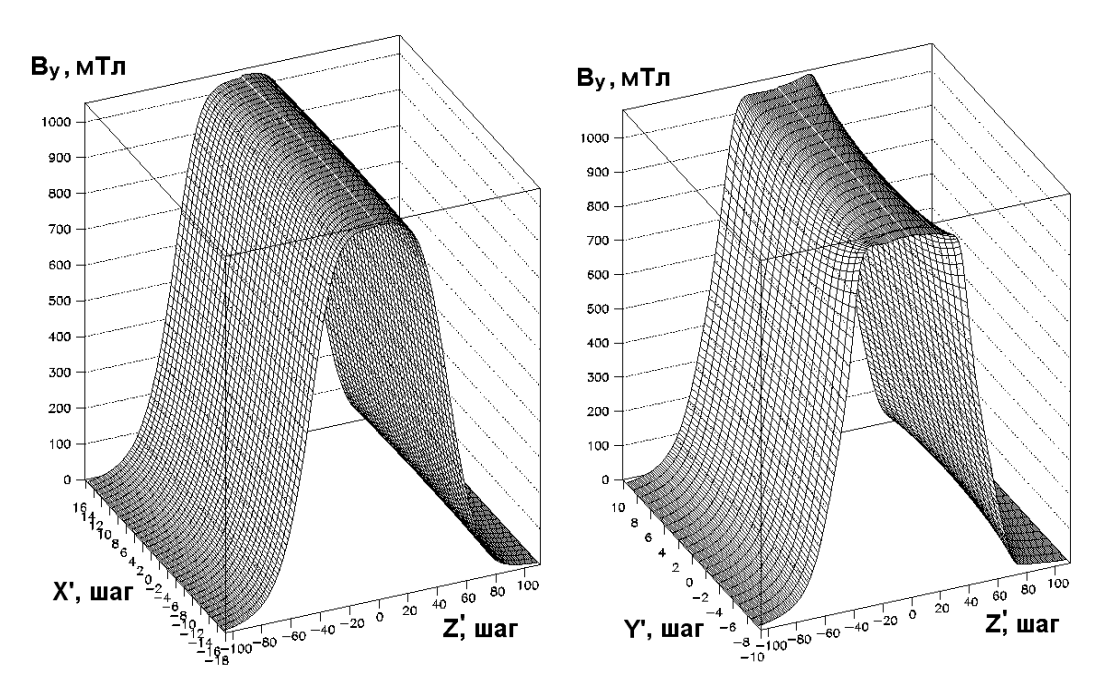


Рис. 13. Плот  $B_y(Z', X')$  для Y'=0 (слева) и плот  $B_y(Z', Y')$  для X'=0 (справа).

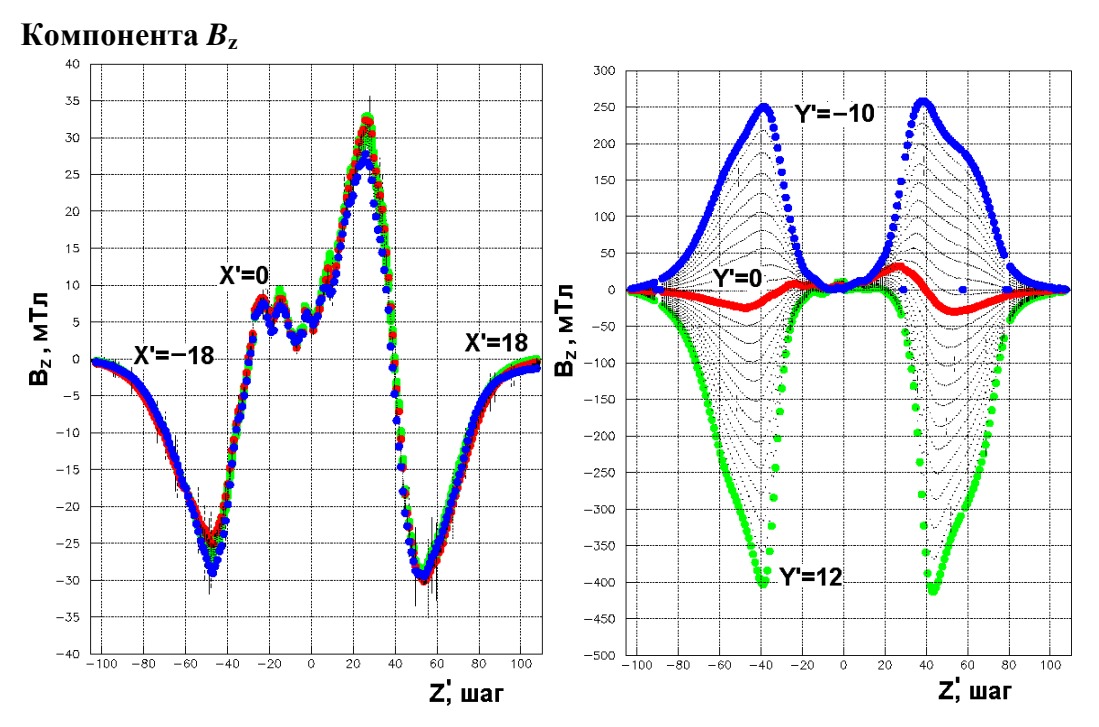


Рис. 14. Зависимость индукции  $B_z(Z')$  для Y'=0 и разных шагов по X' (слева) и зависимость  $B_z(Z)$  для X'=0 и разных шагов по Y' (справа).

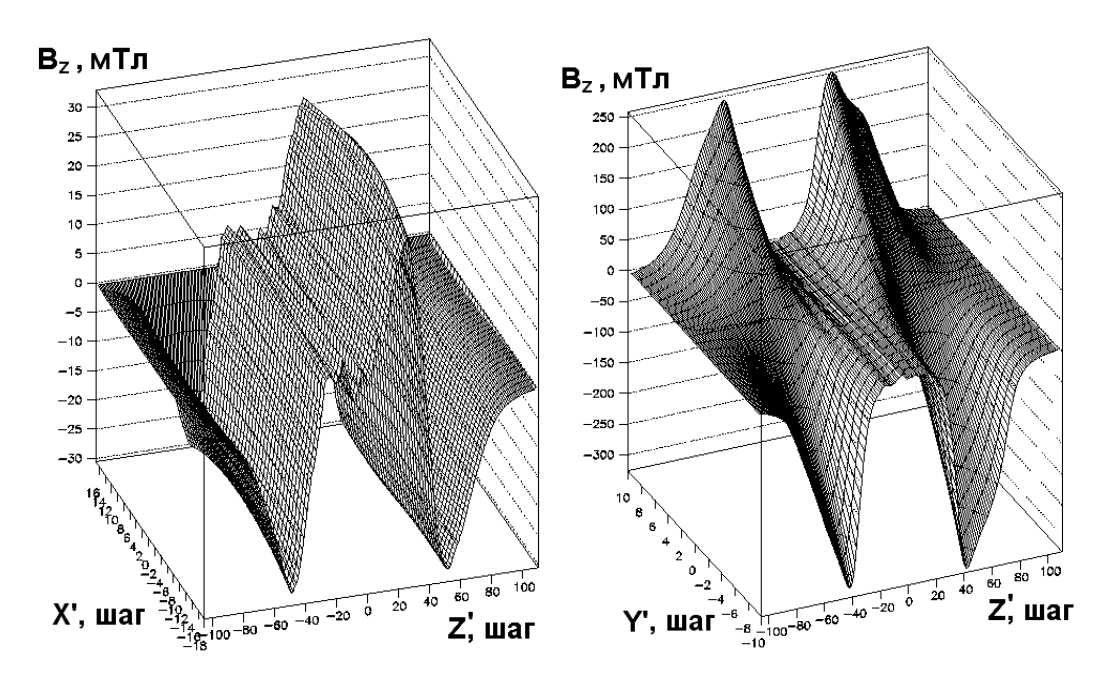


Рис. 15. Плот  $B_z(Z', X')$  для Y'=0 (слева) и плот  $B_z(Z', Y')$  для X'=0 (справа).

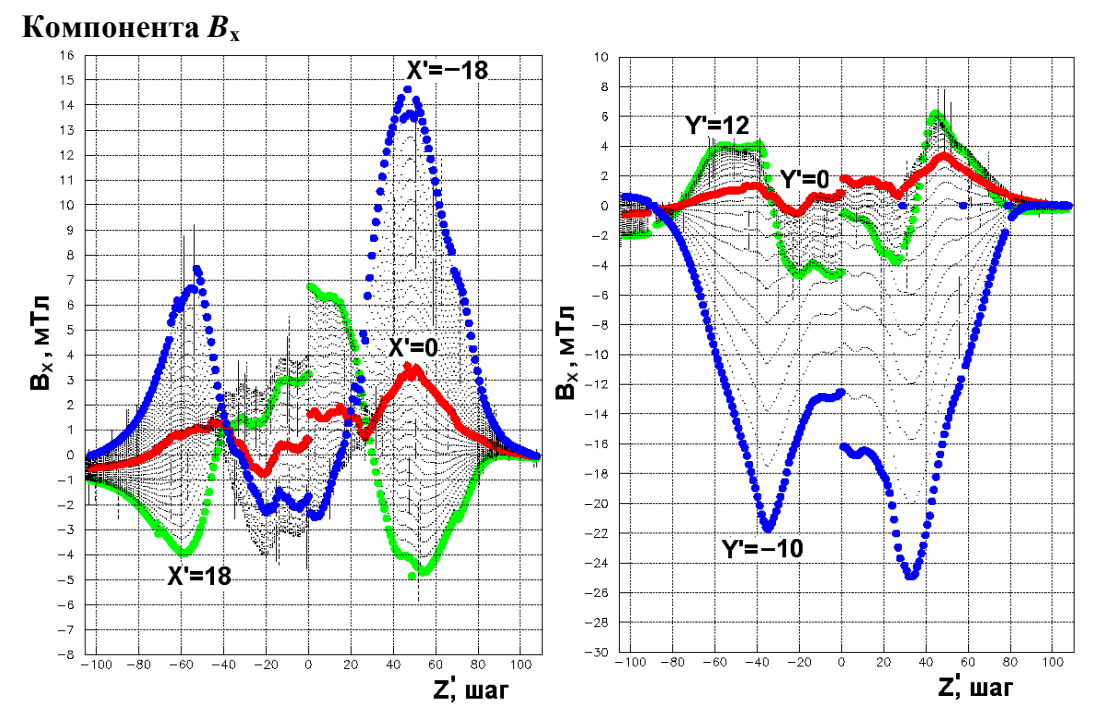


Рис. 16. Зависимость индукции  $B_x(Z')$  для Y'=0 и разных шагов по X' (слева) и зависимость  $B_x(Z)$  для X'=0 и разных шагов по Y' (справа).

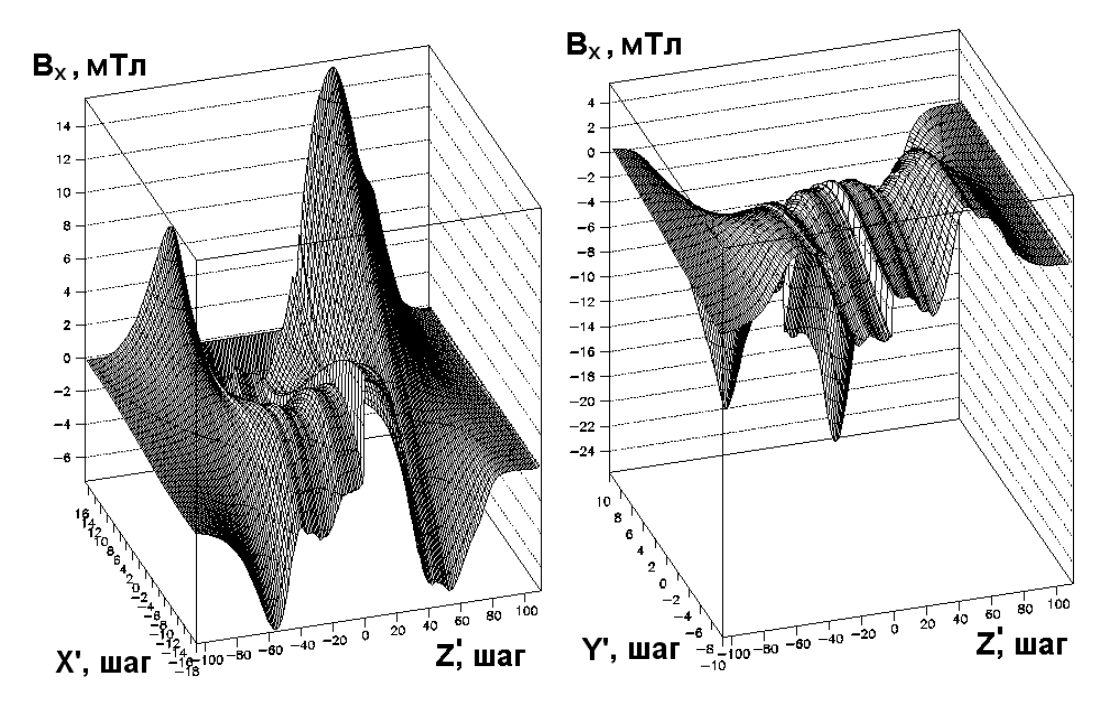


Рис. 17. Плот  $B_x(Z', X')$  для Y'=0 (слева) и плот  $B_x(Z', Y')$  для X'=0 (справа).

В точке сшивки компонентов поля, измеренных в двух половинах, в центре магнита наблюдается их небольшое различие на уровне  $2 \div 4$  мТл для компоненты  $B_{\rm x}$ , наибольшее на краях магнита. Для компоненты  $B_{\rm z}$  эта разница еще меньше. Для компоненты  $B_{\rm y}$  результаты этих измерений совпадают с точностью  $\sim 0.5\%$ , что может быть принято за оценку систематической ошибки, выполненных измерений магнитного поля установки СВД-2.

# Сравнение со старой картой

Измеренная карта магнитного поля установки СВД-2 сравнивалась с аналогичной картой, полученной в 1990 году специалистами из ОИЯИ (г. Дубна) [5] и используемой в системе обработки экспериментальных данных. Имеет смысл сравнивать только данные для передней части магнита, так как старая карта была получена в этой области и далее транспонировалась симметрично на заднюю часть. Новая карта не симметрична по оси Z относительно центра из-за установки железного экрана перед ЧС. При совмещенении систем координат старой и новой карт поля получены рисунки  $18 \div 20$ , на которых демонстрируется сравнение карт для разных компонент поля.

# **Компонента** $B_{y}$ (рис. 18)

- 1) в центральной области магнита (-30 < Z' < 0 шагов или -120 < Z' < 0 см) выполняется соотношение  $B_v(\text{new}) > B_v(\text{old})$  в пределах 1%;
- 2) в области больших градиентов поля (-70<Z'<-30 шагов или -280<Z'<-120 см) при  $B_v$ >300 мТл наблюдается монотонное превышение  $B_v$ (old) >  $B_v$ (new) от 1% до 10%;
- 3) в области слабого поля  $B_y<100$  мТл (-100<Z'<-70 шагов или -400<Z'<-280 см) имеется значительное отличие новой карты от старой, когда  $B_y(\text{old}) > B_y(\text{new})$  и  $\Delta B_y/B_y>10\%$ .

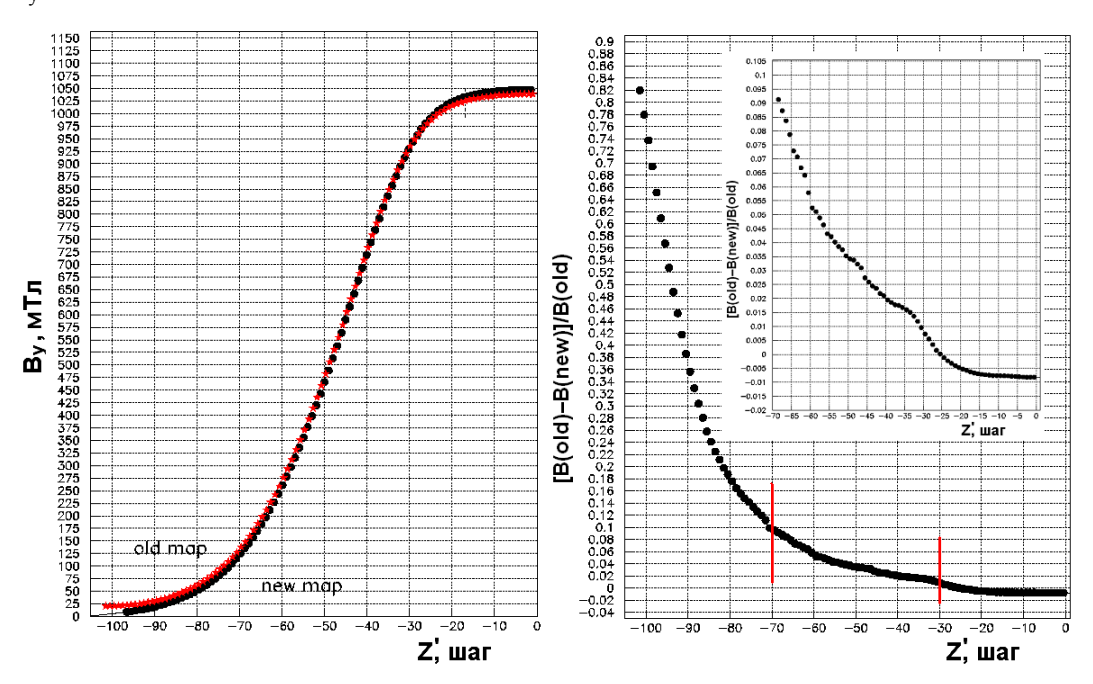


Рис. 18. Зависимость индукции  $B_y(Z')$  вдоль продольной оси (X',Y'=0) для старой (красные звезды) и новой (черные кружки) карт (слева) и зависимость относительной разности  $\Delta B_y/B_y$  от продольной координаты Z' (справа).

#### **Компонента** $B_z$ (рис. 19)

Отличия для компоненты  $B_z$  можно характеризовать тем, что при индукции поля B > 100 мТл (в области вне магнита и при  $Y' \neq 0$ ), обе карты совпадают в пределах  $\pm 10\%$ .

### **Компонента** $B_{x}$ (рис. 20)

Старая карта показывает равенство нулю значений индукции  $B_{\rm x}$  во всех областях, что не согласуется с новыми измерениями поля даже качественно. Несмотря на то, что велина  $B_{\rm x}$  мала ( $\left|B_{\rm x}\right|<20$  мТл), она отличается от 0 даже внутри ярма, особенно вдали от оси поля.

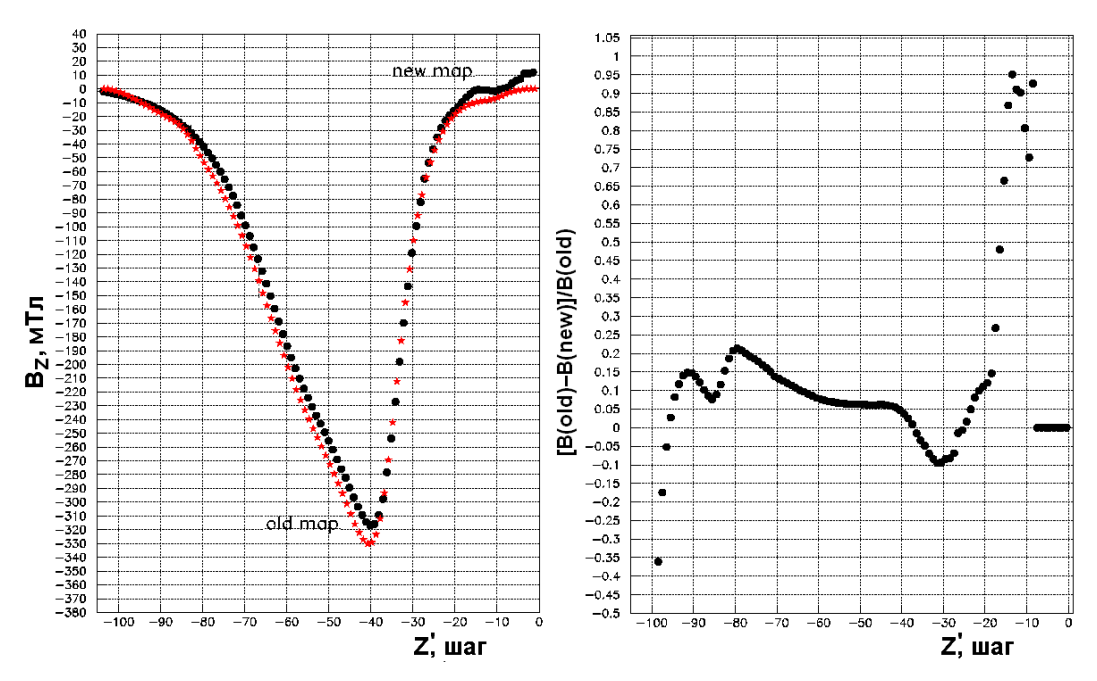


Рис. 19. Зависимость индукции  $B_z(Z')$  вдоль продольной оси (X'=0, Y'=-10 шагов) для старой (красные звезды) и новой (черные кружки) карт (слева) и зависимость относительной разности  $\Delta B_v/B_v$  от продольной координаты Z' (справа).

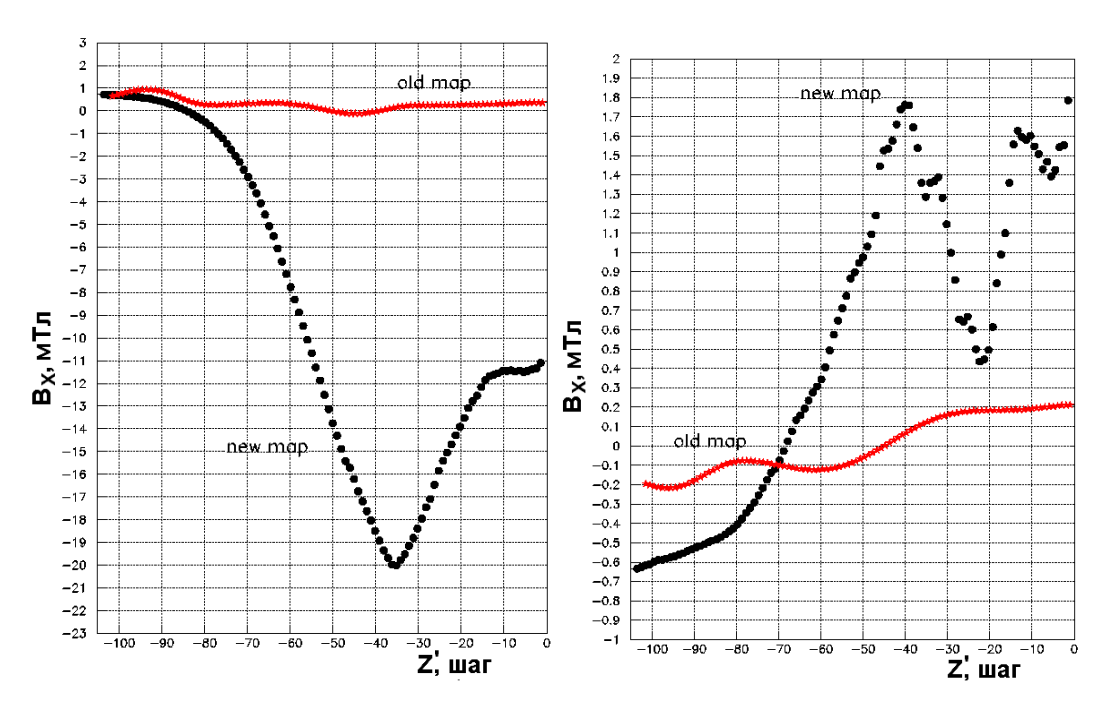


Рис. 20. Зависимость индукции  $B_x(Z')$  вдоль продольной оси (X'=0, Y'=10 шагов) (слева) и (X'=0, Y'=0) (справа) для старой (красные звезды) и новой (черные кружки) карт.

#### Заключение

Новые измерения магнитного поля установки СВД были вызваны появлением металлоконструкций в составе установки, которых не было при измерении карты поля в 1990 году. Проблемы с геометрической реконструкцией событий, проявившиеся при обработке экспериментальных данных, также частично обусловлены неполным соответствием старой карты реальной геометрии установки СВД. Измерения магнитного поля были выполнены системой трехкомпонентных магнитометров в автоматизированном режиме под управлением компьютера. Управление подвижной кареткой и считывание показаний датчиков Холла осуществлялось с помощью программной платформы LabVIEW. Результаты измерений записывались в текстовые файлы, которые содержали служебную информацию (шаг измерения вдоль пучка и по горизонтали, ток магнита, показания датчиков температуры и т.д.) и усредненные данные по 100 измерениям индукции в одной точке трех компонент поля в мТл с их дисперсией. Рабочая область измерений была разделена на две половины от центра магнита, каждая из которых составила (140.  $\times$  88.  $\times$  460.) см<sup>3</sup>. В системе координат, когда продольная ось (Z) совпадает с направлением пролета пучковых частиц, измерялись три компоненты индукции  $(B_x, B_y, B_z)$  магнитного поля с шагом 4 см по каждой координате (всего 191935 пространственных точек) и при разных значениях тока в катушках (I = 1, 2, 3, 4 кA). Результаты анализа полученных данных показывают, что:

- ошибки измерения основной компоненты  $B_y$  в области ярма магнита ( $B_y > 500$  мТл) не превышают 1%. Вне магнита при  $B_y < 100$  мТл они могут достигать  $\sim 10\%$ ;
  - средняя ошибка измерений компонент поля  $B_x$  и  $B_y$  составила 5%;
- как и ожидалось, новая карта не симметрична относительно центра магнита в продольном направлении (в отличие от старой карты) из-за дополнительных металлоконструкций;
- в передней части поля ярма магнита различия новой и старой карт для  $B_y$  не превышают 1%, вне магнита наблюдается монотонное превышение  $B_y$ (старая) >  $B_y$ (новая) от 1% до 10%;

- значения B<sub>z</sub> для новой и старой карт совпадают в пределах 10%;
- старая карта дает значения  $B_x$  близкие к нулю, тогда как новая карта показывает, что в некоторых областях поля компонента  $B_x \sim 20$  мТл и не равна нулю даже внутри ярма магнита.

# Список литературы

- [1]. В. В. Авдейчиков и др. ПТЭ, 2013, № 1, с. 14–37.
- [2]. Е. Н. Ардашев и др. Препринт ИФВЭ 96-98, Протвино, 1996. http://web.ihep.su/library/pubs/prep1996/ps/96-98.pdf
- [3] В. В. Авдейчиков и др. Препринт №Р1-2004-190, ОИЯИ (Дубна 2005).
- [4] www.ihep.ru (Комплекс У-70 —Установки—Действующие установки—СВД).
- [5] И.В. Богуславский и др. Препринт №Р1-90-247, ОИЯИ (Дубна 1990).
- [6] OOO «Вега Флекс», www.sensorspb.ru
- [7] Д.А. Васильев и др. Препринт ИФВЭ 2011-2, Протвино, 2011.

Рукопись поступила 27 марта 2018 г.

В.Н. Алферов и др. Измерения магнитного поля установки СВД.

Препринт отпечатан с оригинала-макета, подготовленного авторами.

Подписано к печати 30.03.2018. Формат  $60 \times 84/16$ . Цифровая печать. Печ.л. 1,5. Уч.— изд.л. 2,2. Тираж 80. Заказ 4. Индекс 3649.

НИЦ «Курчатовский институт» – ИФВЭ

142281, Московская область, г. Протвино, пл. Науки, 1

www.ihep.ru; библиотека http://web.ihep.su/library/pubs/all-w.htm

 $\Pi$  Р Е  $\Pi$  Р И Н Т 2018-2, НИЦ «Курчатовский институт» – ИФВЭ, 2018